

# 結合材の 15%を分級フライアッシュで置換したコンクリートの 基礎物性および構造特性の検討

技術本部技術研究所山村智技術本部技術研究所椎野碧技術本部技術研究所桜田道博技術本部技術部中井聖棋

概要: 結合材の 15%を分級フライアッシュで置換したコンクリートを PC 構造物へ適用するため、配合の検討、クリープ・収縮特性の検討を行った。また、プレテンション PC 桁を製作し、PC 鋼材ひずみの長期計測や曲げ載荷試験による構造特性の検討を行った。その結果、結合材の 15%をフライアッシュで置換した場合、水結合材比 W/B を 34.8%とすることで所要の強度を満足すること、クリープ係数は通常のコンクリートと同程度であること、プレストレスの減少量、曲げ耐力などの構造特性は通常の PC 桁と同等以上であること、および結合材の 15%をフライアッシュで置換した PC 桁の実用化は十分可能であることが確認された。

Key Words: 分級フライアッシュ, クリープ係数, 構造特性, プレテンション PC 桁

# 1. はじめに

近年、PC 構造物においても、耐久性の向上による長寿命化、環境負荷の低減などが求められている。産業副産物であるフライアッシュは、混和材として用いることでコンクリートを緻密化し、塩害や ASR に対する耐久性の向上に寄与することが知られている  $1^{1,2}$ 0. さらに、コンクリートの  $CO_2$  排出量の低減や未利用資源の有効活用などの環境負荷の低減にもつながることから、PC 構造物に積極的に用いることが望まれている。近年、北陸地方においては、分級装置を有する石炭火力発電所が増えており、分級された高品質なフライアッシュ(以降、分級フライアッシュ)の安定供給が可能となったことから  $3^{1,4}$ 0, 塩害や ASR0 の抑制対策としてフライアッシュが積極的に活用されつつある。

これまで、筆者らは、フライアッシュを用いた PC 構造物の実用化、品質向上、耐久性向上および環境負荷の低減を図るため、結合材の 20%をフライアッシュで置換したコンクリートの基礎物性および PC 桁の構造特性を明らかにしてきた 5). そして今回、フライアッシュの置換率が 15%のコンクリートへの適用拡大を目指し、新たに配合の検討、クリープ・収縮特性の検討、耐久性の検討、ならびに PC 桁の構造特性の検討などを行った. ここでは、これらの検討結果について報告する.



山村智



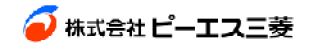
椎野碧



桜田道博



中井聖棋



## 2. 実験概要

#### 2.1 コンクリートの目標性状

コンクリートの目標性状を**表-1** に示す. プレテンション方式 PC 桁への適用を目的としているため, コンクリートの設計基準強度は  $50N/mm^2$ (材齢 28 日), プレストレス導入時の強度は材齢 14 時間で  $35N/mm^2$ とした. また, スランプおよび空気量の目標値はそれぞれ,  $18\pm2.5cm$  および  $4.5\pm1.5\%$ とした.

設計基準強度  $\sigma_{28} = 50.0 \text{N/mm}^2$ プレストレス導入時強度  $\sigma_1 = 35.0 \text{N/mm}^2$ 変動係数 (設計基準強度) V1=5.0% 変動係数(プレストレス導入時) V2=9.0% 目標スランプ SL=18.0cm 目標空気量 air=4.5% 粗骨材の最大寸法 Gmax=20mm 塩化物含有量の最大値 300g/m<sup>3</sup> 割増し係数から算出される配合強度 設計基準強度の配合強度  $\sigma_{28}=54.8\text{N/mm}^2$ プレストレスト導入時強度の配合強度  $\sigma_{14h}$ =41.5N/mm<sup>2</sup>

表-1 コンクリートの目標性状

#### 2.2 使用材料

使用材料を表-2に示す。セメントには早強ポルトランドセメントを、フライアッシュには北陸電力七尾大田火力発電所で製造される分級フライアッシュを使用した。骨材は七尾工場の常用品とした。

材料	記号	仕様
セメント	С	早強ポルトランドセメント 密度:3.14g/cm <sup>3</sup>
混和材	FA	分級フライアッシュ(七尾大田火力発電所産)
化化和约	гA	密度:2.41 g/cm³,比表面積:4600cm²/g
細骨材	$\mathbf{S}$	川砂(庄川産)表乾密度:2.61 g/cm³
粗骨材	G	砕石(庄川産)表乾密度:2.61g/cm³
高性能減水剤	SP	ポリエーテル系
AE 剤	AE	アニオン系界面活性剤

表-2 使用材料

# 2.3 配合

配合を表-3 に示す。No.1, No.2 および No.3 の配合は結合材に対するフライアッシュの置換率が 15%の配合検討で用いたものであり、水結合材比(以降、W/B)はそれぞれ、30%、33%および 36%とした。No.4 は(以降、FA15)は B/W と圧縮強度の関係から所要の圧縮強度が発現するよう決定した配合であり、No.5(以降、H)は比較用の早強セメント単味の配合である。

単位量(kg/m³) W/B Air s/a 配合名 備考 No. (%)(%) W  $\mathbf{S}$ G (%)  $\mathbf{C}$ FAFA-30 30 43.6 150 425 720 942 1 4.5752 FA-33 44.2150 386 74733 4.568 954 配合検討 3 FA-36 36 4.5 44.8 150 354 63 771 960 クリープ・収縮特性の検討 4 FA15 34.8 4.5 44.6 150 366 65 762958 5 Η 38.74.540.6 150 388 729 1061 構造特性の検討

表-3 配合

#### 2.4 練混ぜ方法

コンクリートの練混ぜ方法を**図-1**に示す. 室内試験では公称容量 55L の強制練り水平二軸ミキサを使用し、PC 桁の製作時は公称容量  $1.7m^3$  のジクロス式の実機ミキサを使用した.

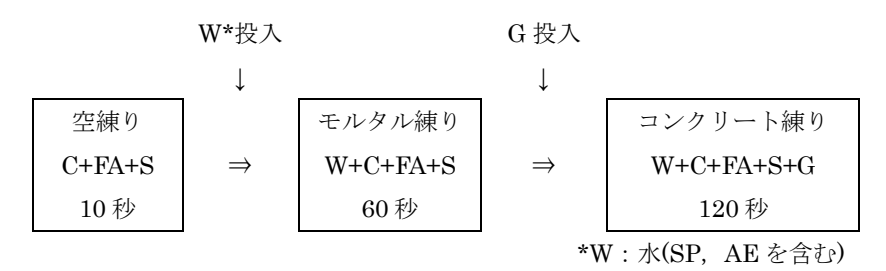
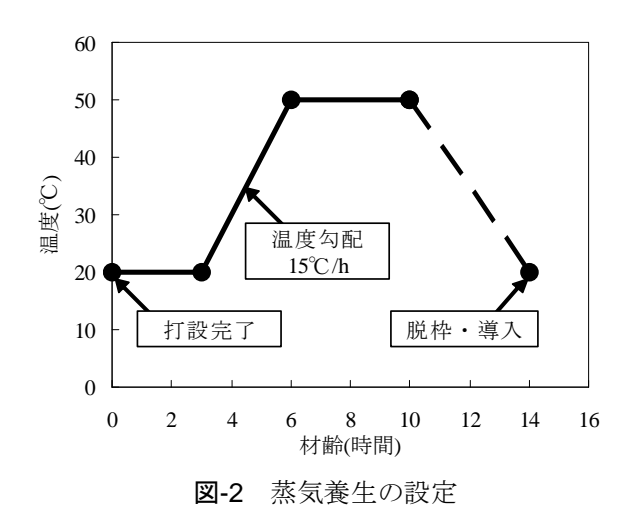


図-1 練混ぜ方法

#### 2.5 養生方法

蒸気養生の設定を**図-2** に示す. 前置き養生(20 $^{\circ}$ )は3時間とし、その後、15 $^{\circ}$ C/h で温度を上昇させ、最高温度 50 $^{\circ}$ Cを4時間保持した後、降温させた. 脱枠は蒸気養生開始から14時間後とした.



# 2.6 配合検討

本検討で用いた配合は表-3 に示したとおりである. 配合の検討では水結合材比 W/B を 30%, 33%および 36%の 3 水準とし、結合材水比 B/W と圧縮強度の関係から所要の強度を満足する W/B 決定した.

## 2.7 クリープ・収縮特性の検討

本検討で行った試験項目,試験方法および対象配合を**表-4**に示す.本検討では,フライアッシュを用いたコンクリートの乾燥収縮ひずみおよびクリープ係数の設計値を検討するため,乾燥収縮試験および圧縮クリープ試験を行った.

THE PROPERTY OF THE PROPERTY O							
試験項目	試験方法	対象配合					
一	科學分分	FA15	Н				
乾燥収縮試験	JIS A 1129	0	0				
圧縮クリープ試験	JIS A 1157	0	0				
圧縮強度試験	JIS A 1108	0	0				

表-4 試験項目および試験方法

#### 2.7.1 乾燥収縮試験

乾燥収縮試験の状況を**写真-1** に示す. 乾燥収縮試験は JIS A1129(コンパレータ法)に準拠した. 供試体は幅 10cm, 高さ 10cm, 長さ 40cm の角柱とし、3 体製作した. 端部断面の中央部には乾燥収縮測定用の鋼製チップを埋め込んだ. 脱枠は蒸気養生終了後とし、その後は室温  $20\pm3^{\circ}$ C、相対湿度  $60\pm5\%$ で保管するものとした. 計測は蒸気養生終了後(材齢 1 日)から開始し、脱枠後、速やかに基長を測定した. 測定期間は乾燥開始から 1 年とした.



写真-1 乾燥収縮試験の状況

#### 2.7.2 圧縮クリープ試験

圧縮クリープ試験用の供試体を表-5 に示す。圧縮クリープ試験は JIS A 1157 に準拠して行った。供試体は直径 10cm, 高さ 20cm の円柱とし、載荷用、無載荷用および圧縮強度・ヤング係数確認用の合計 15 体とした。無載荷用供試体は、載荷用供試体と乾燥条件を同じにするため、上下面にアルミテープを貼り付け、上下面からの乾燥を極力抑制した(図-3)。 クリープひずみを算出する際のヤング係数は、土木学会コンクリート標準示方書では載荷時の値を、道路橋示方書では材齢 28 日(標準養生)の値を使用することとされており、両示方書に対応するため、強度確認用の供試体に標準養生した材齢 28 日の供試体を追加した。

供討休種粕	共試体種類 配合名 用 途		試験材齢	供試体数	
於於件種類			时心火小/ 图1	用途別	合 計
		載荷用	1 日∼365 日	3	
円柱 ( $_{\phi}$ 10×20cm)	FA15 圧縮強原	無載荷用	1 日∼365 日	3	
			材齢1日(蒸気養生*)	3	15
		圧縮強度および	材齢 28 日(蒸気養生*)	3	10
		ヤング係数確認用	材齢 28 日(標準養生)	3	

表-5 クリープ試験用の供試体

<sup>\*</sup>蒸気養生後は脱枠し、恒温室(気温 20℃、湿度 60%)で所定の材齢まで気中保管

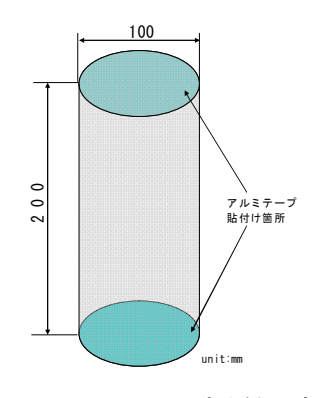
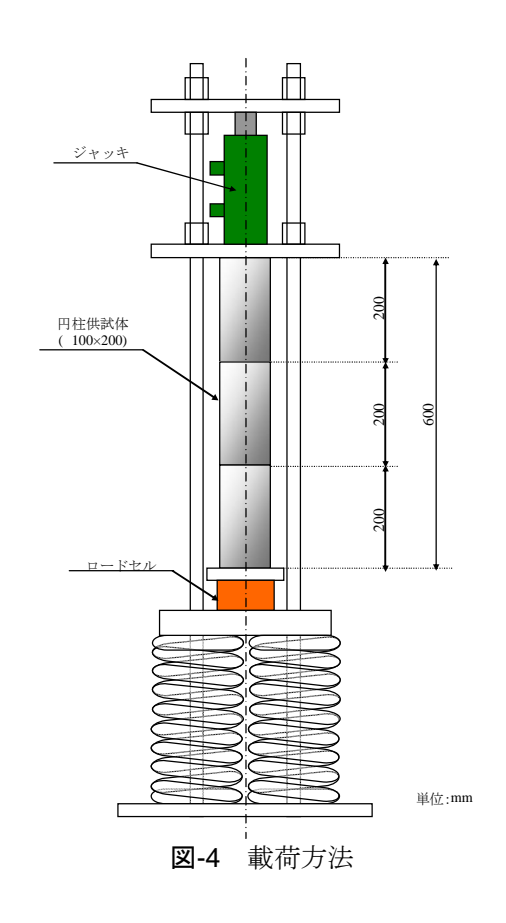


図-3 アルミテープ貼付け方法

## (1) 載荷方法

クリープ試験における載荷方法を図-4 に示す. 載荷には三菱マテリアル(株)セメント研究所のクリープ試験機を用いた. 載荷開始材齢は1日とし、試験は載荷から1年後まで行った. 載荷は油圧ジャッキにより行い、供試体の応力度が圧縮強度の1/3となるよう載荷した. 載荷時の供試体の圧縮強度は試験開始直前(材齢1日)の圧縮強度試験により求めた. 供試体の応力度は試験終了(1年後)まで一定とし、応力度の許容値は±2%以内とした.



## (2) 計測方法

計測項目および計測方法を表-6 に、ひずみの計測時期および計測間隔を表-7 に、コンクリートゲージの貼付け位置を図-5 に示す。クリープ試験の載荷荷重はロードセルで計測し、コンクリートひずみはコンクリートゲージ(PL-120)を図-5 のとおり貼り付けて計測した。

計測 No.	載荷の有無	計測項目	計測方法	計測位置	記号	備考
1		載荷荷重	ロードセル	-	P	
2		コンクリートひずみ	コンクリートゲージ	上段1	U1	
3		コンクリートひずみ	コンクリートゲージ	上段 2	U2	
4	有	コンクリートひずみ	コンクリートゲージ	中段 1	M1	
5		コンクリートひずみ	コンクリートゲージ	中段 2	M2	
6		コンクリートひずみ	コンクリートゲージ	下段1	L1	
7		コンクリートひずみ	コンクリートゲージ	下段 2	L2	
8		コンクリートひずみ	コンクリートゲージ	No.1-1	N1-1	
9		コンクリートひずみ	コンクリートゲージ	No.1-2	N1-2	
10	無	コンクリートひずみ	コンクリートゲージ	No.2-1	N2-1	
11	<del>/////</del>	コンクリートひずみ	コンクリートゲージ	No.2-2	N2-2	
12		コンクリートひずみ	コンクリートゲージ	No.3-1	N3-1	
13		コンクリートひずみ	コンクリートゲージ	No.3-2	N3-2	

表-6 計測項目および計測方法(1 試験あたり)

表-7	計測	時期
4V - 1	머니(병)	IHAL HAU

計測時期	計測間隔および計測回数
載荷開始直前~載荷完了直後	3回以上
載荷完了~24時間	15 分ピッチ
24 時間~7 日	30 分ピッチ
7 日~28 日	2 時間ピッチ
1 ヶ月~2 ヶ月	4 時間ピッチ
2 ヶ月~6 ヶ月	12 時間ピッチ
6ヶ月~1年	24 時間ピッチ
除荷後	1 回

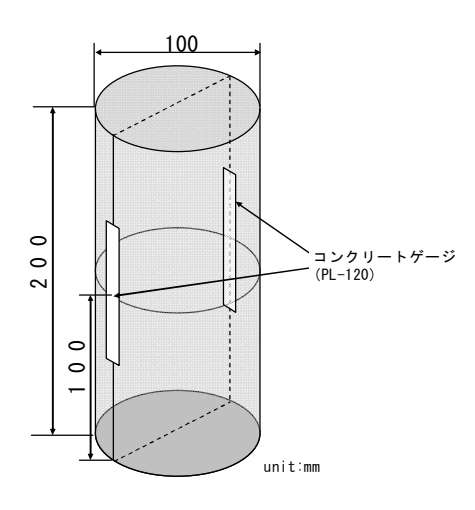


図-5 ひずみゲージの貼付け位置

# (3) クリープ係数の算出方法

$$\mathcal{E}_{ct} = \mathcal{E}_{at} - \mathcal{E}_{e} - \mathcal{E}_{st} \qquad \qquad \cdot \cdot \cdot \vec{x}(1)$$

$$\mu \varepsilon_{ct} = \frac{\varepsilon_{ct}}{\sigma} \qquad \cdot \cdot \cdot \vec{\Xi}(2)$$

$$\phi_t = \frac{\mathcal{E}_{ct}}{\mathcal{E}_e} \qquad \qquad \cdot \cdot \cdot \vec{\Xi}(3)$$

ここに、 $\varepsilon_{ct}$ : クリープひずみ

 $\varepsilon_{at}$ : 全ひずみ(載荷した供試体のひずみ)

 $\varepsilon_e$ : 弾性ひずみ(載荷直後の供試体のひずみ)

εst: 無載荷ひずみ(載荷していない供試体のひずみ)

 $\mu \ \epsilon \ ct$ : 単位クリープ

σ: 載荷応力度(N/mm²)

φt: クリープ係数



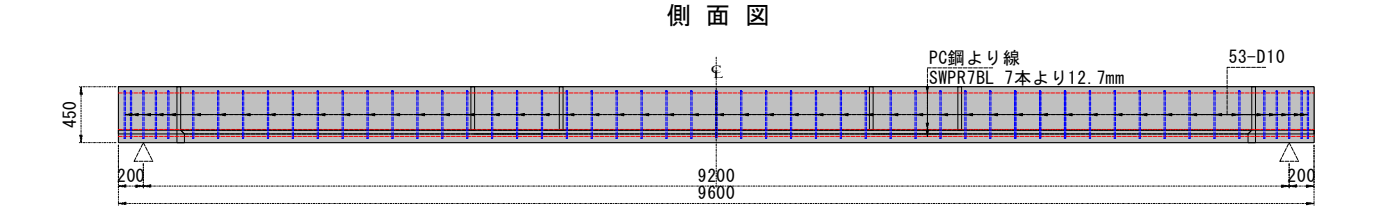
## 2.8 プレテンション PC 桁による構造特性の検討

## 2.8.1 供試体(プレテンション PC 桁)

本検討で製作した PC 桁の一覧を表-8 に、PC 桁の寸法、配筋および PC 鋼材の配置を図-6 に示す. 供試体はフライアッシュを用いた PC 桁(以降、FA15PC 桁)とし、形状および寸法は JIS 規格である AS09 と同様とした. 本来であれば横桁部に横締めシース孔があるが、本実験ではシース孔を省略した. 平成 24 年 12 月に実施した通常の PC 桁供試体(HPC 桁)の試験結果と比較することでフライアッシュが PC 桁の構造特性に及ぼす影響を検討した.

表-8 PC 桁一覧

No. 供試体名		配合	プレストレスの	PC 鉧	材の配置	備考
NO.	供訊净冶	日口口	導入方法	(圧縮側)	(引張側)	/
1	FA15PC 桁	FA15 配合	プレテンション方式	4-1S12.7	12-1S12.7	
2	HPC 桁	H配合	プレテンション方式	4-1S12.7	12-1S12.7	H24.12 実施



断面図(支間中央部)

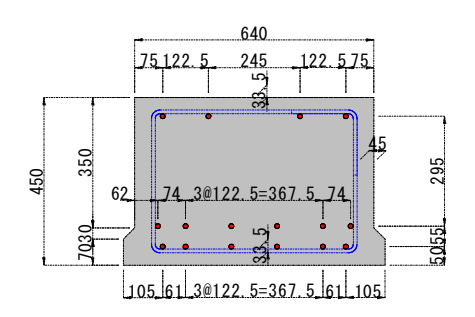


図-6 供試体(プレテンション PC 桁)

#### 2.8.2 プレストレスの減少量の検討

プレテンション PC 桁における PC 鋼材のひずみの計測位置を**図-7** に示す. 本検討は PC 桁支間中央部で最下段の PC 鋼材のひずみを長期計測(数ヶ月間)することにより行った. PC 鋼材ひずみの計測には温度補償型ひずみゲージを使用した. なお, 平成 24 年 4 月に製作した通常の早強単味の PC 桁(以降, HPC 桁)の計測結果と比較することでフライアッシュがプレストレスの減少量に及ぼす影響を検討した.

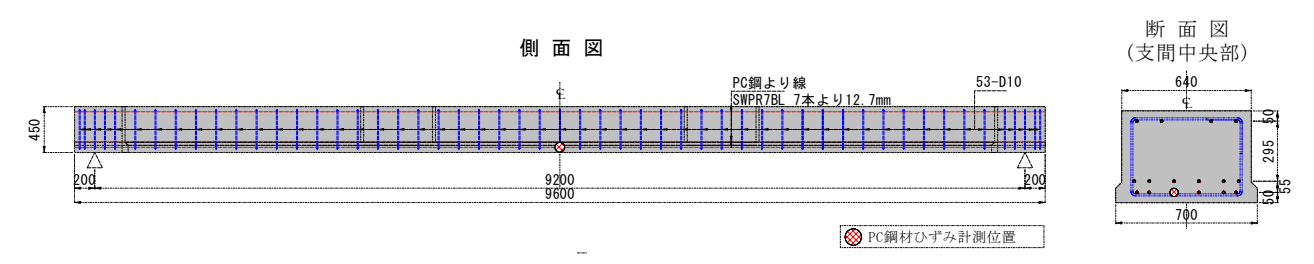


図-7 PC 鋼材ひずみの計測位置



#### 2.8.3 載荷試験による力学的特性の検討

載荷方法を図-8 に、計測機器の配置を図-9 に、計測項目および検討項目を表-9 に、載荷条件を表-10 にそれぞれ示す。FA15PC 桁の力学的特性を把握するため、有効プレストレス計測後のプレテンション PC 桁を用いて曲げ載荷実験を実施した。載荷方法は図-8 に示すように 4 点曲げ載荷とし、支間中央部の純曲げ区間は 1m とした。載荷荷重はロードセルにて計測し、桁の鉛直変位は支間中央部および支点部に設置した変位計により計測した。ひび割れ幅は純曲げ区間の側面(下段 PC 鋼材位置で桁下縁から 50mm の高さ、片側のみ)に設置した $\pi$  ゲージ(測定長 100mm)により計測した。なお、平成 24 年 12 月に実施した HPC 桁の載荷試験も同条件で行った。

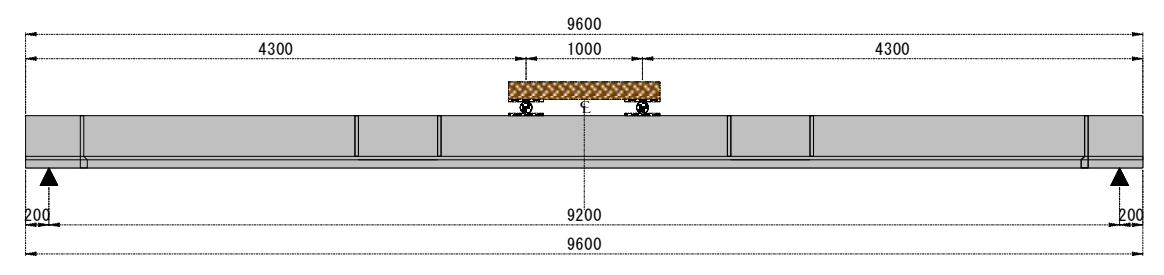
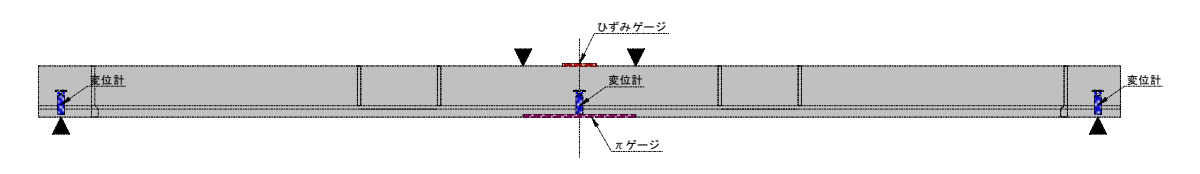


図-8 載荷方法





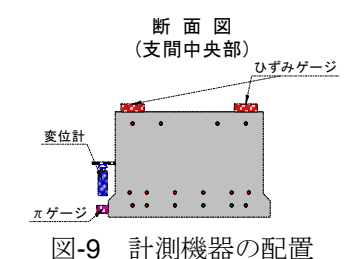


表-9 計測項目および検討項目

計測項目	検討項目
①曲げひび割れ発生荷重	ひび割れ耐力
②曲げ破壊荷重	破壊耐力
③変位	桁の剛性
④PC 鋼材ひずみ	平面保持
⑤ひび割れ図	ひび割れ性状

表-10 載荷条件

実験の私	重類	曲げ載荷試験		
載荷のフ		4 点曲げ載荷		
支持方			単純支持	
載荷位		支間中央部か	らそれぞれ 0.50m の位置	
ひび割れ保	証荷重*	I	Pcr=103.8kN	
出げていて以生けれる	曲げひび割れ発生荷重**		134.0kN	
		HPC 桁	121.6kN	
曲げ破壊保	証荷重*	Pu=286.8kN		
出げは神	+**	FA15PC 桁	303.8kN	
曲げ破壊荷重**		HPC 桁	298.8kN	
載荷回数		2回(1回はひび割れ発生まで)		
載荷ステップ	0∼200kN	10kN ピッチ 5kN ピッチ		
戦物ペノンノ	$200\sim$			

<sup>\*</sup>JIS 規格であるひび割れ試験曲げモーメントおよび破壊抵抗曲げモーメントより算出した計算値.

<sup>\*\*</sup>載荷試験直前に実施した圧縮強度試験の結果を基に算出した計算値.



## 3. 試験結果および考察

#### 3.1 配合検討

#### 3.1.1 BM と圧縮強度の関係

結合材の 15%をフライアッシュで置換したコンクリートの材齢 14 時間(プレストレス導入時)および材齢 28 日における圧縮強度と結合材水比(B/W)の関係を**図-10** に、各材齢で所要の強度を満足する W/B を表-11 に示す。プレストレス導入時強度および設計基準強度に対する配合強度をともに満足する結合材水比 B/W は 2.868 であり、W/B を 34.8%とすることで所要の強度を満足することが確認された。

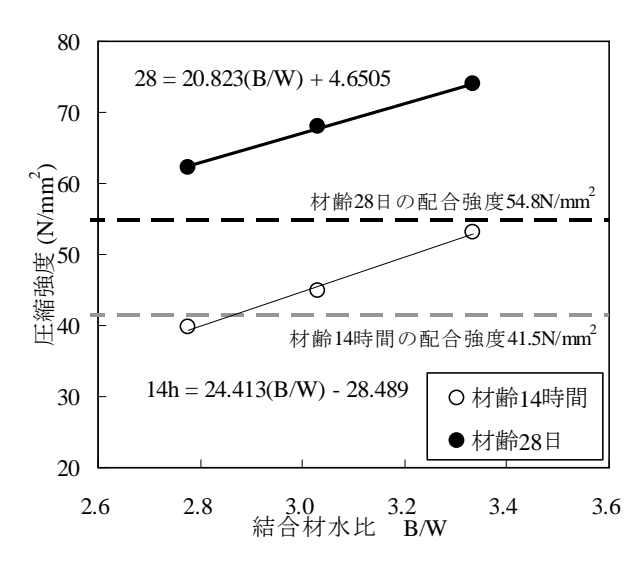


図-10 B/W と圧縮強度の関係

表-11 各材齢で所要の強度を満足する W/B

	材齢 14 時間	材齢 28 日
B/W	2.868	2.413
W/B (%)	34.8	41.4

# 3.1.2 配合の決定

配合検討により決定した配合を表-12に示す.

表-12 決定配合

	W/D	75) 7°	rice (= 1	- / -		単	位量(kg/m	<sup>1</sup> 3)		
配合名	W/B (%)	スランプ <sup>°</sup>	空気量 (%)	s/a (%)	W	I	3	Q	C	備考
	(70)	(cm)	(70)	(70)	(0) VV	С	FA	٥	G	
FA15	34.8	18±2.5	$4.5 \pm 1.5$	44.6	150	366	65	762	958	

# 3.2 クリープ・収縮特性の検討

#### 3.2.1 乾燥収縮ひずみ

FA15 および H の乾燥期間 182 日までの乾燥収縮ひずみを図-11 に示す. 乾燥期間 182 日における FA15 および H の乾燥収縮ひずみはそれぞれ,  $467\mu$  および  $524\mu$  であり, 結合材の 15%をフライアッシュで置換したコンクリートの乾燥収縮ひずみは通常のコンクリート(早強セメント単味)のコンクリートに比べて  $60\mu$  程度小さくなった. これは, フライアッシュを用いたコンクリートの水結合材比が 34.8%であるのに対し, 早強セメント単味のコンクリートの水セメント比が 38.7%と高いことにより乾燥収縮ひずみが小さくなったものと考えられる.

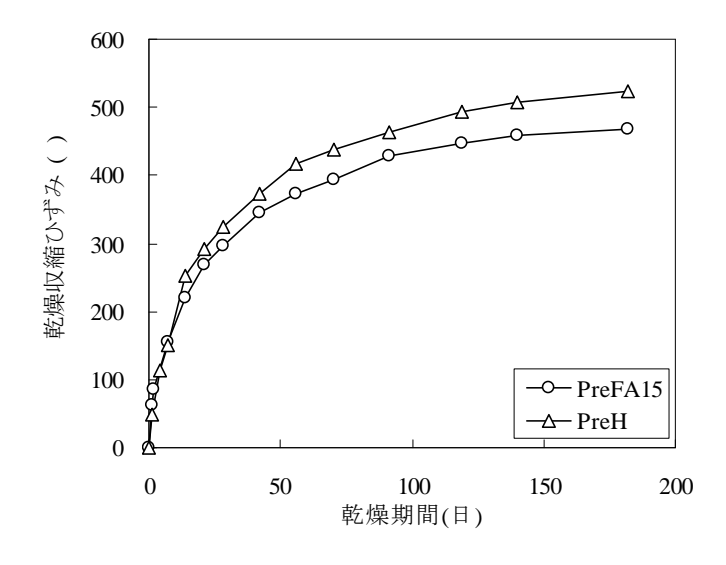
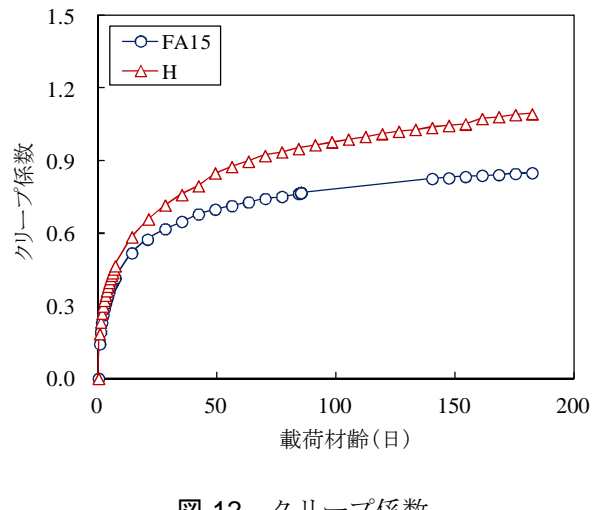


図-11 乾燥収縮ひずみ

#### 3.2.2 クリープ係数

FA15 および H の載荷材齢 182 日までのクリープ係数を図-12 に示す. また, FA15 および H の圧縮強度 試験の結果を**図-13** に示す.載荷材齢 182 日における FA15 および H のクリープ係数はそれぞれ,0.85 およ び 1.09 となり、FA15 のクリープ係数は H に比べ、22%程度小さくなることが確認された。これは、図-13に示すように FA15 の材齢 14 日以降の圧縮強度が H より高かったためと考えられる. フライアッシュを用 いたコンクリート(置換率 15%)のクリープ係数は通常のコンクリート(早強セメント単味)と比べ、同等以下で あり、プレストレスの減少量の設計においては、通常のコンクリートと同様のクリープ係数を用いることで 安全側の評価になると考えられる.



100 ->- FA15 90 <u></u> H 80 圧縮強度(N/mm<sup>2</sup>) 70 60 50 設計基準強度50N/mm<sup>2</sup> 40 30 20 5 10 15 20 25 30 材齢(日)

図-12 クリープ係数

図-13 圧縮強度試験結果

#### 3.3 プレストレスの減少量の検討

#### 3.3.1 有効プレストレス

FA15PC 桁および HPC 桁の PC 鋼材応力度(最下段)の経時変化を図-14 に示す. 図の時間軸の原点はコン クリートの打込み完了時とした. 図中の有効プレストレスの計算値は FA15PC 桁のものであり, 道路橋示方 書に準拠し, PC 桁の弾性変形, コンクリートのクリープおよび乾燥収縮などを考慮して求めた. なお, 有効 プレストレスはプレストレス導入から 42 日後の計算値であり, 道路橋示方書に示された値を参考にし, クリ ープ係数を 0.68, 乾燥収縮ひずみを  $30\mu$  として算出した.

図-14 より、FA15PC 桁の PC 鋼材応力度の経時変化は HPC 桁とほとんど同程度であり、圧縮強度が同程

度であれば、フライアッシュを用いた PC 桁のクリープおよび乾燥収縮によるプレストレスの減少量は早強 単味の PC 桁と同程度であることが確認された。また、FA15PC 桁の PC 鋼材応力は有効プレストレスの計 算値を上回っており、道路橋示方書に準拠することで、有効プレストレスを安全側に評価できることが確認 された。

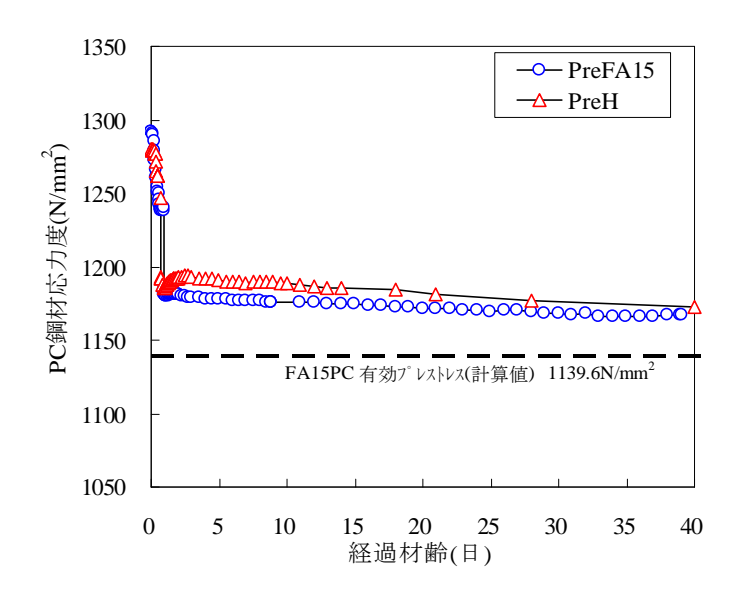


図-14 PC 鋼材応力度の経時変化

#### 3.4 曲げ載荷試験による構造特性の検討

# 3.4.1 載荷試験前の PC 桁の性状

載荷試験前の FA15PC 桁の強度特性と支間中央部の最下段の PC 鋼材ひずみを表-13 に示す. 表-13 に示す 圧縮強度, 静弾性係数および割裂引張強度の試験材齢は 42 日であった.

	単位	FA15PC 桁
圧縮強度	N/mm <sup>2</sup>	76.7
ヤング係数	kN/mm <sup>2</sup>	35.3
割裂引張強度	N/mm <sup>2</sup>	4.35
PC 鋼材ひずみ(最下段)	μ	5663

表-13 PC 桁の強度特性および PC 鋼材ひずみ

#### 3.4.2 破壊までの過程

FA15PC 桁の荷重と支間中央部のたわみの関係を図-15 に、曲げひび割れ発生荷重および曲げ破壊荷重を表-14 に示す。ここで、曲げひび割れ発生荷重の計算値は、支間中央部の桁下縁応力度がコンクリートの引張強度に達する荷重であり、曲げ破壊荷重の計算値は桁に作用する曲げモーメントが破壊抵抗曲げモーメントに達する値である。なお、PC 桁の破壊抵抗曲げモーメントは圧縮側コンクリートの応力分布を等価応力ブロックと仮定して算出した。

FA15PC 桁の曲げひび割れ発生荷重および曲げ破壊荷重はそれぞれ、158kN および 354kN であり、ともに計算値を上回っている。このことから、フライアッシュを用いた PC 桁は所要の性能を満足しており、弾性理論や平面保持の仮定により、ひび割れ発生モーメントや曲げ耐力を適切に評価できると考えられる。また、FA15PC 桁および HPC 桁の荷重と変位との関係を比較すると、載荷の初期から終局までの挙動はほとんど一致しており、フライアッシュを用いた PC 桁は、早強セメント単味の通常の PC 桁と同等の構造性能を有していると考えられる。なお、FA15PC 桁および HPC 桁の破壊形態はともに、PC 鋼材が降伏した後に桁上縁が圧壊する曲げ引張破壊であった(写真-2)。

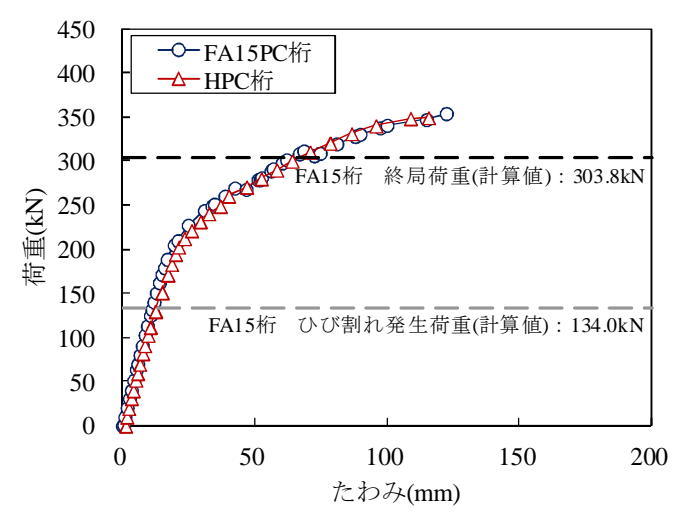


図-15 荷重とたわみの関係

表-14 曲げひび割れ発生荷重および曲げ破壊荷重

	FA15PC 桁		HPC 桁	
	計算値	実測値	計算値	実測値
ひび割れ発生荷重 Pcr (kN)	134.0	171.7	121.6	152.0
終局荷重 Pu (kN)	303.8	354.0	298.8	349.0



写真-2 純曲げ区間の破壊状況

# 3.4.3 ひび割れ性状

ひび割れの発生状況を図-16 に、供試体の純曲げ区間(支間中央 1000mm 区間)におけるひび割れの分散性を表-15 に示す。表-15 のひび割れ間隔の計算値はコンクリート標準示方書のひび割れ幅の算定式である式(4)の  $I_{max}$  より求めた。純曲げ区間の最大ひび割れ間隔は 230mm であり、ひび割れ間隔の計算値 260mm より小さな値を示した。

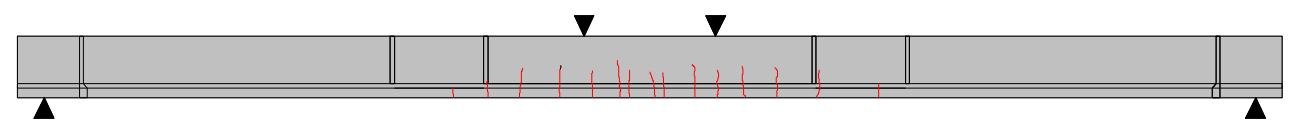
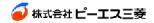


図-16 ひび割れ状況



$$w = l_{\text{max}} \left[ \frac{\sigma_{pe}}{E_p} + \varepsilon_{csd}^{'} \right]$$

$$l_{\text{max}} = 1.1k_1k_2k_3\{4c + 0.7(c_s - \phi)\}$$

$$k_1 = 1.3$$

$$k_2 = \frac{15}{f_c + 20} + 0.7$$

$$k_3 = \frac{5(n+2)}{7n+8}$$

ここに、w は曲げひび割れ幅、 $k_1$ は鉄筋の表面形状に関する係数(異形鉄筋:1.0、PC 鋼材:1.3)、 $k_2$ はコンクリートの品質に関する係数、 $k_3$ は引張鋼材の段数に関する係数、e は鋼材に力の変化量、 $E_p$ は鋼材の弾性係数、 $e'_{csd}$ はコンクリートの収縮およびクリープ、 $f_c$ は圧縮強度、nは引張鋼材の段数である.

X 10 0 0 114 0 0 0 11 11 11 11 11 11 11 11 11 11 11						
試験桁		ひび割れ間隔				
	ひび割れ本数	実験値(最大)	実験値(平均)	計算値		
	N	$I_{max}$	$I_{ave}$	$I_{cal}$		
		(mm)	(mm)	(mm)		
FA15PC 桁	6	230	158	260		

表-15 ひび割れの分散性

FA15PC 桁および以前に試験を行った HPC 桁の PC 鋼材ひずみとひび割れ幅の関係を図-17 に示す. 図に示す PC 鋼材ひずみはひび割れが発生した時点を 0 とした増加ひずみである. 曲げひび割れの計算値は式(4) により算出し、コンクリート強度には実強度を使用した. なお、ひび割れ幅の計算において  $e'_{sd}$ は無視した. FA15PC 桁および HPC 桁のひび割れ幅の実測値はほぼ同程度であることが確認された. また、FA15PC 桁の曲げひび割れ幅の実測値と計算値はよく一致しており、フライアッシュを用いたプレテンション PC 桁のひび割れ幅はコンクリート標準示方書に示される曲げひび割れ幅算定式により、適切に評価できると判断される.

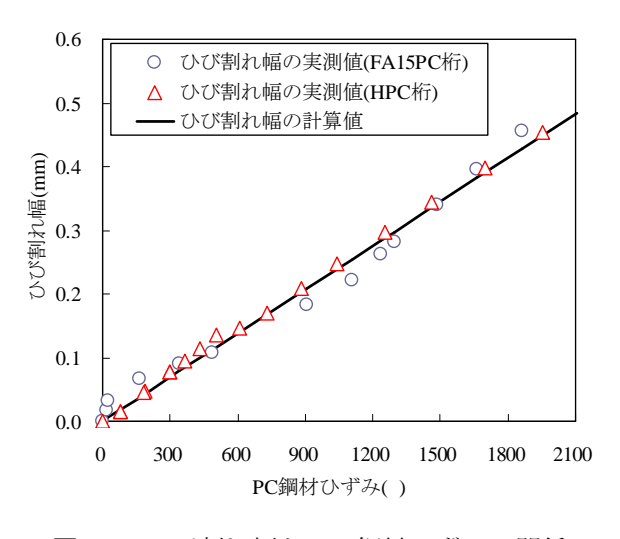
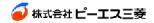


図-17 ひび割れ幅と PC 鋼材ひずみの関係

# 3.4.4 終局ひずみ

FA15PC 桁の支間中央部における桁上縁の軸方向ひずみを図-18 に示す. FA15PC 桁の終局ひずみは  $2521\mu$  であった. 実強度  $76.7\text{N/mm}^2$ (表-13 参照)を用いて、コンクリート標準示方書による式(5)により算出される 終局ひずみは  $2610\mu$  である. すなわち、終局ひずみの実測値は計算値と近い値を示した.



$$\varepsilon'_{cu} = \frac{155 - f'_{ck}}{30000}$$

ここに、 $\varepsilon'_{cu}$ は終局ひずみ、 $f'_{ck}$ はコンクリート強度の特性値

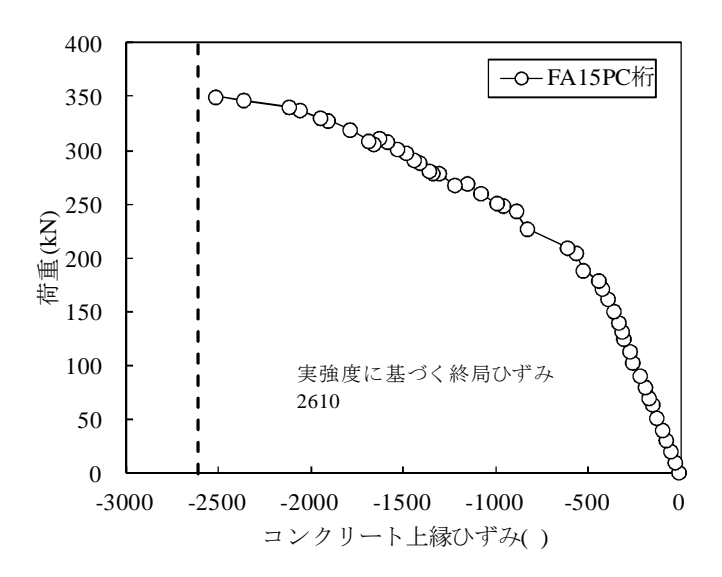


図-18 桁上縁の軸方向ひずみ

## 3.4.5 PC 鋼材ひずみ

FA15PC 桁および HPC 桁の荷重と PC 鋼材ひずみの関係を図-19 に示す. PC 鋼材ひずみは支間中央部の最下段の PC 鋼材のものである. 図-19 より, FA15PC 桁および HPC 桁の PC 鋼材ひずみは載荷初期から終局までほとんど同程度であり, 引張鋼材の挙動に関しても大差がないことが確認された.

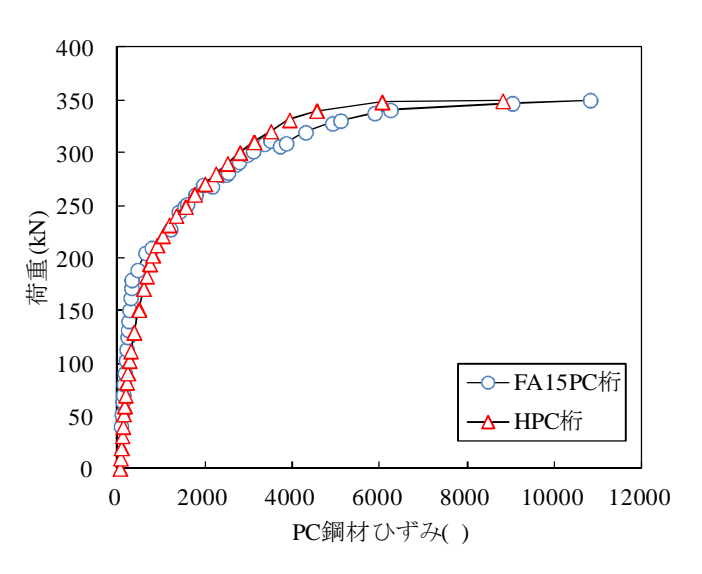
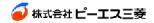


図-19 荷重と PC 鋼材ひずみの関係



#### 4. まとめ

結合材の 15%をフライアッシュで置換したコンクリートの PC 構造物への適用拡大を目指し、新たに配合の検討、クリープ・収縮特性の検討、耐久性の検討、ならびに PC 桁の構造特性の検討などを行った結果、以下の知見が得られた.

- (1) B/W と圧縮強度の関係から、W/B を 34.8%とすることで所要の強度を満足することが確認された.
- (2) 乾燥収縮試験の結果、乾燥期間 182 日における FA15 および H の乾燥収縮ひずみはそれぞれ、 $467 \mu$  および  $524 \mu$  であり、結合材の 15%をフライアッシュで置換したコンクリートの乾燥収縮ひずみは通常のコンクリート(早強セメント単味)のコンクリートに比べて  $60 \mu$  程度小さくなった.これは、フライアッシュを用いたコンクリートの水結合材比が 34.8%であるのに対し、早強セメント単味のコンクリートの水セメント比が 38.7%と高いことにより乾燥収縮ひずみが小さくなったものと考えられる.
- (3) フライアッシュを用いたコンクリート(置換率 15%)のクリープ係数は通常のコンクリート(早強セメント単味)と比べ、同等以下であり、プレストレスの減少量の設計においては、通常のコンクリートと同様のクリープ係数を用いることで安全側の評価になると考えられる.
- (4) FA15PC 桁の荷重とたわみの関係は、HPC 桁とほぼ一致した. また、弾性理論や平面保持の仮定に基づく、通常の設計手法により、ひび割れ発生モーメントや曲げ耐力を適切に評価できた.
- (5) FA15PC 桁および HPC 桁のひび割れ幅の実測値はほぼ同程度であることが確認された. また, FA15PC 桁の曲げひび割れ間隔の実測値と計算値はよく一致しており, フライアッシュを用いたプレテンション PC 桁のひび割れ幅はコンクリート標準示方書に示される曲げひび割れ幅算定式により, 適切に評価できると判断される.

以上の検討結果より、結合材の 15%をフライアッシュで置換した PC 橋の実用化が十分可能であることを確認した. これらの結果を基に石川県の宮坂橋歩道橋でフライアッシュの採用が検討され、フライアッシュを用いた日本初の PCT 桁橋が実現した.

# 参考文献

- 1) 松村将充, 蓑田理希, 蔡云峰, 鳥居和之:高炉スラグ微粉末を含有したプレストレストコンクリートの アルカリシリカ反応性の評価, コンクリート工学年次論文集, Vol.28, No.1, pp.803-808, 2006
- 2) 俵道和, 呉承寧, 石川嘉崇, 滝上邦彦: プレストレストコンクリートへのフライアッシュの適用性に関する基礎試験, コンクリート工学年次論文集, Vol.33, No.1, pp197-202, 2011
- 3) 鳥居和之: フライアッシュの活用によるコンクリートの高耐久化-北陸地方の ASR 問題への取り組みと情報発信-, 電力土木, No.357, p11-15, 2012
- 4) 橋本徹, 久保哲司, 参納千夏男:産官学連携による北陸地方におけるコンクリートのフライアッシュ有 効利用促進に向けた取組み,電力土木(別刷), No.361, pp.56-60, 2012
- 5) 山村智,鈴木雅博,小林和弘,鳥居和之:分級フライアッシュを用いたコンクリートの PC 桁への適用に関する研究,第22回プレストレストコンクリートの発展に関するシンポジウム,pp515-520,2013.